

Um Estudo da Instabilidade de Saffman-Taylor com Fluido Magnético e, ou Anisotrópico

Ataias Pereira Reis, Yuri Dumaesq Sobral, Francisco Ricardo da Cunha
Universidade de Brasília
Departamento de Matemática
Brasília, Brasil
ataiasreis@gmail.com

Resumo—Na primeira etapa deste projeto o objetivo foi a criação de algoritmos para resolver equações diferenciais parciais com o uso de diferenças finitas para resolver as equações de Laplace e Poisson, usando método direto e iterativo. Na codificação dos programas utilizou-se bibliotecas de álgebra linear de código aberto, a programação foi feita em linguagem C++. Iniciou-se o trabalho de resolver a equação de Navier Stokes numa cavidade, mas este ainda encontra-se em desenvolvimento.

Index Terms—Ferrofluidos, Navier Stokes, EDP, Poisson, Laplace, Diferenças finitas, Eigen

I. INTRODUÇÃO

A instabilidade de Saffman-Taylor, ou *fingering* [5], que pode ser visto na Figura 1, é um fenômeno que ocorre na superfície de contato entre dois fluidos sob circunstâncias específicas. Esse fenômeno ocorre quando um fluido menos viscoso é injetado para deslocar um outro mais viscoso (na situação inversa, do fluido mais viscoso usado para movimentar o outro, a interface é estável, não ocorrendo o endramento). Também pode ocorrer movida pela gravidade, ao invés de injeção de um fluido em outro. Neste caso, a interface separando os fluidos de diferentes densidades está direcionada na horizontal, e o mais pesado está em cima do outro. Este tipo de fenômeno é um problema ocorrente em petrolíferas marítimas. Em tais petrolíferas, ocorre a injeção de água nos tubos de extração de petróleo, no objetivo do óleo subir. Na interface entre água e petróleo, o *fingering* ocorre, originando bolhas de óleo dentro de água, que tem um efeito negativo na extração do petróleo, causando perda de óleo quando a água é jogada fora. Uma maneira de se controlar este fenômeno é usar fluidos magnéticos e a aplicação de campos magnéticos [1].

O objetivo deste estudo é estudar essa instabilidade por meio de métodos numéricos auxiliados por computador. A equação de Navier Stokes deve ser discretizada e então resolvida numericamente. Ela é uma equação diferencial parcial altamente não-linear e de difícil resolução. No caso da instabilidade de Saffman-Taylor, no qual a fronteira está em movimento, que é a interface entre os dois fluidos, faz-se necessário algoritmos numéricos capazes de lidar com este movimento sem causar complicações extremas que impossibilitem a obtenção de soluções práticas [2] [3].

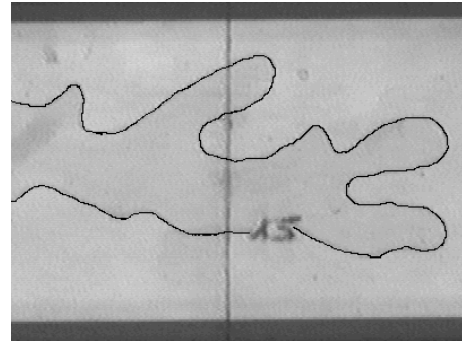


Figura 1. Demonstração de fingering

Tais ferramentas numéricas e decisão de métodos/algoritmos a se utilizar são a primeira etapa neste projeto, para então, após se ter tais ferramentas, estudar a física do problema e propor soluções para o problema com a utilização de um ferrofluido. Este relatório mostrará até onde se alcançou na codificação dos algoritmos numéricos para resolução do problema proposto. Iniciou-se com o estudo de equações diferenciais parciais bastante conhecidas, como a equação do Calor, de Laplace, e métodos de solução numérica, especificamente o método de diferenças finitas. Após isso, estudou-se em específico a equação de Navier Stokes [4].

A metodologia aqui proposta resume as tarefas realizadas ao longo da execução do projeto:

- A. Técnicas de Computação Básica
- B. Solução da equação de Laplace
- C. Solução da equação de Poisson
- D. Solução da equação de Navier Stokes

Considerações gerais sobre a equação

1. Desconsiderando a pressão
2. Obtendo a pressão
3. Avançando no tempo

II. TÉCNICAS DE COMPUTAÇÃO BÁSICA

Pelo fato da solução numérica da equação diferencial parcial exigir um grande esforço computacional, o tempo de processamento é uma questão fundamental na escolha da linguagem de programação a ser utilizada. De início, a ferramenta e linguagem de programação utilizada era

o MATLAB®. O MATLAB inclui uma infinidade de algoritmos disponíveis para uso, ferramentas para plotagem de gráficos embutidas, boa documentação de funções, mas tem a desvantagem de consumir muita memória e processamento. O tempo é um fator crítico e o custo computacional de um programa como o MATLAB, sendo executado por muitas horas ou dias, pode ser algo excessivo e, portanto, preferiu-se tomar outro rumo para o desenvolvimento dos códigos.

Tais problemas levaram a uma escolha de uma linguagem de programação compilada e mais rápida, em comparação a uma linguagem interpretada como o MATLAB. A ferramenta escolhida foi o C++. O fato do aluno ter experiência em C inicialmente, aliado ao fato de se haver encontrado uma biblioteca de álgebra linear chamada Eigen¹ que evita a necessidade de criação de inúmeros algoritmos básicos, e que é desenvolvida em C++, influenciou na escolha de tal linguagem.

A Eigen inclui algoritmos para resolução de sistemas lineares, criação de matrizes e alocação de memória, operações básicas de matrizes, resolução de sistemas de matrizes esparsas e vários outros algoritmos não explorados que estão à disposição, isso tudo de graça, pois é código aberto e gratuito.

Apesar de se ter escolhido o C++ e a Eigen, faltam ainda ferramentas necessárias ao trabalho em questão. A criação de gráficos diretamente em C++ não é algo trivial, não foram encontradas bibliotecas que pudessem ser utilizadas de uma forma tão simples como o MATLAB. Após muita pesquisa, foi decidido utilizar o Python e suas bibliotecas gráficas. Os códigos em C++ passaram a ser compilados não em programas, mas em bibliotecas, e executados de dentro do ambiente Python, que possui poderosos recursos para salvar arquivos, criação de gráficos e com muita documentação disponível.

É utilizado o CMake² para criação de Makefiles. Makefiles são arquivos que tem o objetivo de compilar códigos, neles há informação das bibliotecas a qual um programa irá necessitar para ser compilado, localizações de códigos no computador e logicamente o compilador que será utilizado. O CMake simplifica a criação de Makefiles e, por isso, é utilizado.

Outro programa que se faz uso neste projeto é o git³, que é um gerenciador de versões, de forma a sempre se ter as versões antigas dos códigos salvas, e bem organizadas. O projeto tem sido desde certo ponto hospedado num servidor git gratuito, e pode ser obtido facilmente online⁴. Neste site do projeto há um histórico de quase todas as versões dos programas do projeto, e os códigos C++, Python e instruções de como compilar e executar em sistema operacional Ubuntu.

III. SOLUÇÃO DA EQUAÇÃO DE LAPLACE

Primeiramente, o aluno se familiarizou com a resolução de equações diferenciais parciais, estudando em detalhes a solução analítica das equações de Laplace, Poisson, Calor e Onda. O método de resolução aprendido foi o método de Fourier. Tal método consiste na separação de variáveis. Tendo-se uma função incógnita $u(x, y)$, propõe-se uma solução do tipo $H(x)G(y)$ e este termo é então trabalhado na equação diferencial, de forma a obter-se equações diferenciais ordinárias que podem ser resolvidas mais facilmente. As soluções muitas vezes envolvem o uso da série de Fourier, onde partes das EDPs⁵ são representadas como uma soma de senos e cossenos, por necessidade pelo uso do método.

Após isso, o primeiro problema proposto foi resolver uma destas equações numericamente, a escolhida foi a equação de Laplace com condições de fronteira de Dirichlet em duas dimensões, num quadrado 1×1 . Ela foi escolhida porque é uma EDP muito simples. Verifica-se abaixo o problema:

$$\begin{aligned}\nabla^2 u &= \frac{\partial^2 u}{\partial x^2} + \frac{\partial^2 u}{\partial y^2} = 0 \\ u(x, 0) &= f_1(x), u(x, 1) = f_2(x) \\ u(0, y) &= g_1(y), u(1, y) = g_2(y)\end{aligned}\quad (1)$$

A primeira etapa na resolução numérica desta equação é discretizá-la, e isto implica em tornar finito o número de pontos em cada dimensão, e representar a equação como operações mais simples e que o computador seja capaz de entender, operações diferentes da derivada, tais como soma, subtração e multiplicação. O método escolhido para realizar a discretização foi diferenças finitas. Este método faz a seguinte aproximação para a derivada:

$$f'(x) = \lim_{h \rightarrow 0} \frac{f(x+h) - f(x)}{h} = \frac{d}{dx} f(x) \approx \frac{f_i - f_{i-1}}{\Delta x} \quad (2)$$

Os valores de f_i são valores discretizados da função $f(x)$, ou seja, $f_i = f(i\Delta x)$. Agora a distância entre dois pontos passa a ser de Δx . A função não é mais contínua, mas discreta. A fórmula para se calcular o espaçamento Δx é dada na Equação 3.

$$\Delta x = 1/(n-1) \quad (3)$$

Há vários tipos de diferenças finitas: progressivas, regressivas e centrais, de acordo com a localização dos pontos envolvidos nos cálculos. Além disso, uma aproximação por diferença finite pode utilizar mais de dois pontos, de forma a se obter diferentes ordens de erro. O erro também muda de acordo com quão grande é Δx , que está diretamente ligado ao número de pontos da malha. A malha é uma matriz bidimensional que contém pontos representando posições do espaço. Para resolver a equação de Laplace, utilizou-se diferenças centrais de segunda ordem, cujo erro

¹Eigen: <http://eigen.tuxfamily.org/>

²Cmake: <http://www.cmake.org/>

³Git: <http://git-scm.com/>

⁴Github projeto: <https://github.com/ataias/ff>

⁵Equações Diferenciais Parciais

é da ordem de Δx^2 . A diferença central de segunda ordem é apresentada na equação 4.

$$f''(x) \approx \frac{f(x + \Delta x) - 2f(x) - f(x - \Delta x)}{\Delta x^2} \quad (4)$$

Utilizando a discretização da segunda derivada mostrada na Equação 4 na equação de Laplace, obtém-se a Equação 5, que é a equação de Laplace discretizada. Note-se que $\Delta x = \Delta y$ e que a variável x varia de acordo com o índice i e a variável y de acordo com o índice j .

$$\frac{u_{i+1j} + u_{i-1j} + u_{ij+1} + u_{ij-1} - 4u_{ij}}{\Delta x^2} = 0 \quad (5)$$

Reordenando essa equação algébrica para encontrar o valor de u_{ij} :

$$u_{ij} = \frac{u_{i+1j} + u_{i-1j} + u_{ij+1} + u_{ij-1}}{4} \quad (6)$$

A Equação 6 está na forma explícita, na qual um ponto central é obtido diretamente a partir dos pontos adjacentes. No entanto, quando a equação é aplicada ao ponto central, ele influencia no cálculo de outros, que faz com que esta fórmula deva ser aplicada muitas vezes, até se alcançar a convergência de todos os pontos do domínio. A convergência é a aproximação do resultado, quando os valores da malha alcançam valores praticamente estacionários, mudando muito pouco. Neste momento o programa para e considera-se que a solução foi obtida.

Caso essa equação seja aplicada a todos os pontos do domínio, se nota um problema, pois ela requiere pontos adjacentes ao ponto no qual ela é aplicada. Por isso, além da equação de Laplace, que é utilizada nos pontos internos, necessita-se das condições de contorno para o problema, onde são determinados os valores nas fronteiras do domínio. Essas condições de contorno podem determinar os valores na fronteira diretamente ou indiretamente, dependendo se as condições são de Dirichlet, Neumann ou uma mistura. No caso das condições de Dirichlet, especifica-se o valor da função na fronteira, enquanto nas condições de Neumann se especifica o valor da derivada normal da função.

No problema desta seção, as condições são de Dirichlet. O domínio escolhido é um quadrado, como já mencionado, e na Figura 2 tem-se o exemplo de uma malha 6x6. Cada cruzamento de linha indica um ponto no domínio, e a Equação 6 será aplicada nos pontos internos. Note que os pontos de fronteira são aqueles que estão sobre uma coluna ou linha dos extremos da matriz.

Pelo fato deste primeiro método abordado ser iterativo, com um *loop* sendo executado até a convergência ser obtida, é natural escolher um método de parada. Isto poderia ser: (1) escolher um tempo limite de execução, (2) ver a diferença entre duas matrizes após uma iteração completa em seus pontos internos, para analisar se a diferença entre elas é desprezível e se indica convergência, ou ainda (3) pode-se calcular a Equação 5 em cada ponto interno, que seria o melhor a se fazer, e analisar se a equação está dentro de uma faixa de erro desejada. No Algoritmo 1, é apresentada a formulação inicial utilizada.

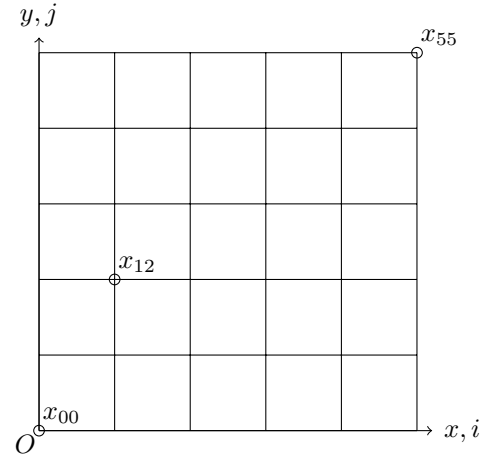


Figura 2. Malha padrão para discretizar Laplace e Poisson

input : Matriz $n \times n$ com as condições de contorno de Dirichlet

output: Matriz com a solução da equação de Laplace

$STOP = 0;$

$err \leftarrow 10^{-6};$

while $STOP \neq 1$ **do**

$u^{old} \leftarrow u;$

for $i \leftarrow 1$ **to** $n - 2$ **do**

for $j \leftarrow 1$ **to** $n - 2$ **do**

$u_{ij} \leftarrow (u_{i+1j} + u_{i-1j} + u_{ij+1} + u_{ij-1})/4;$

end

end

$ERROR \leftarrow Norma(u^{old} - u);$

if $ERROR < err$ **then**

$STOP \leftarrow 1;$

end

end

Algoritmo 1: Resolvendo a equação de Laplace Iterativamente

O método de resolução apresentado no Algoritmo 1 foi o primeiro a ser estudado por simplicidade. Este método é chamado de Gauss-Seidel. Note que o valor de cada ponto no método é obtido diretamente dos pontos adjacentes e, portanto, se faz necessária uma resolução iterativa. Isso tem um custo de processamento razoável, no qual o tempo aumenta grandemente conforme a ordem da malha, n , escolhida. Os resultados que mostram essa relação com a ordem da matriz são mostrados nas Figuras 3 e 4.

Nas Figuras 3 e 4 tem-se uma visão geral do tempo que o programa criado consome para resolver a equação de Laplace com condições de Dirichlet, pelo método iterativo. Os conjuntos de pontos obtidos nos dois últimos gráficos mencionados foram aproximados por polinômios cúbicos. A diferença entre os dois se observa no tempo de cálculo quando o número de pontos em cada dimensão, n , ultrapassa um valor em torno de 100. Pelo fato de serem polinômios cúbicos, ambos crescem muito rápido com o número de pontos. O cálculo com 4 threads foi

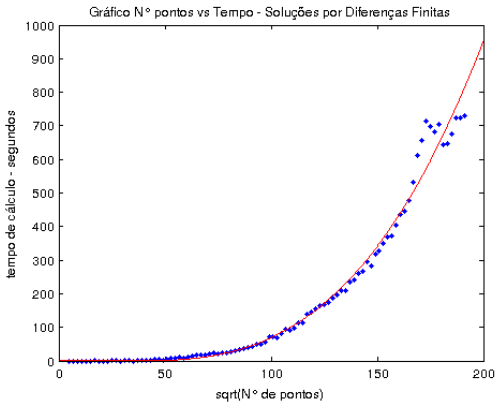


Figura 3. Pontos vs Tempo de Cálculo - 1 thread - Método Explícito

mais rápido pelo fato de se estar utilizando mais poder de processamento do computador nos cálculos.

As Figuras 5, 7, 9 e 11 são um conjunto de resultados da equação de Laplace com condições de fronteira de Dirichlet, resolvidas pelo método iterativo, com uso de 1 thread, enquanto as Figuras 6, 8, 10 e 12 são soluções do mesmo problema com o uso de 4 threads do computador. As condições de contorno em todas são as mesmas em todas essas figuras, como se pode notar pelo formato similar de cada uma das soluções. Os lados tem valores de condições de Dirichlet que são $u(x, 0) = 0$, $u(x, 1) = 50$, $u(0, y) = 75$ e $u(1, y) = 100$.

Note que conforme se aumenta o número de pontos, o gasto computacional chega a ser excessivo, conforme se observa no tempo gasto para cada solução. O tempo, em segundos, sem nenhuma casa decimal depois da vírgula, está disponível para observação nas descrições das Figuras 5 a 12.

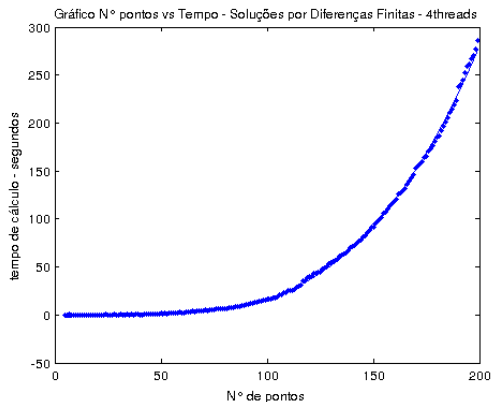


Figura 4. Pontos vs Tempo de Cálculo - 4 threads - Método Explícito

O uso de paralelismo ocorreu por causa do elevado custo computacional para malhas maiores e, sabendo-se que computadores atuais tem múltiplos threads, fez-se uso deste recurso para analisar a relação entre tempo e número

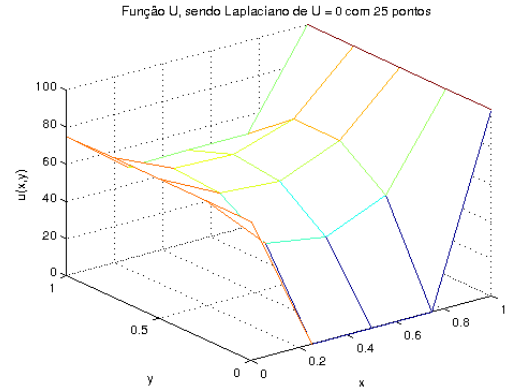


Figura 5. Malha 5x5 - 1 thread - Tempo: 0s - Método Explícito

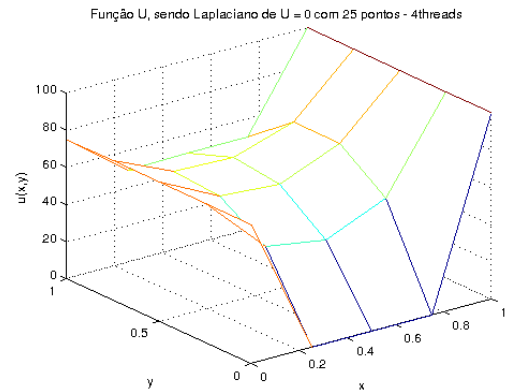


Figura 6. Malha 5x5 - 4 threads - Tempo: 0s - Método Explícito

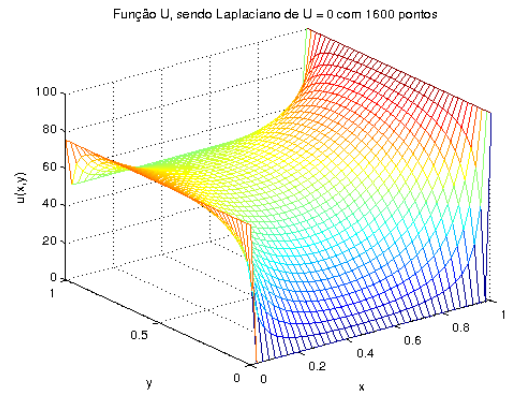


Figura 7. Malha 40x40 - 1 thread - Tempo: 2s - Método Explícito

de pontos⁶ com paralelismo em ação. Resultados similares foram obtidos no caso de múltiplos threads, mudando somente o tempo necessário para cada solução, e podem ser vistos nas Figuras 6, 8, 10 e 12.

Visando uma resolução mais rápida, pode-se substituir o método iterativo pelo direto. Neste caso, e com o auxílio de algoritmos de matrizes esparsas, os resultados foram

⁶Pontos: o eixo de número de pontos nos gráficos do método explícito na verdade é a ordem da malha, que é a raiz quadrada do número de pontos.

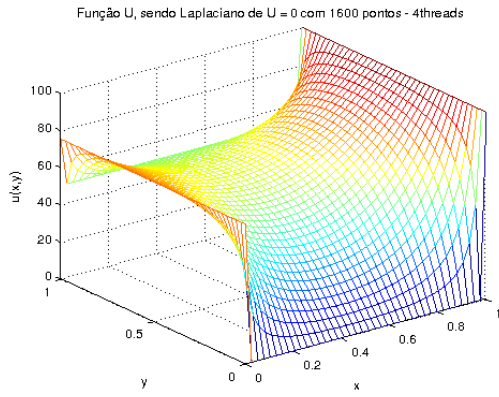


Figura 8. Malha 40x40 - 4 threads - Tempo: 0s - Método Explícito

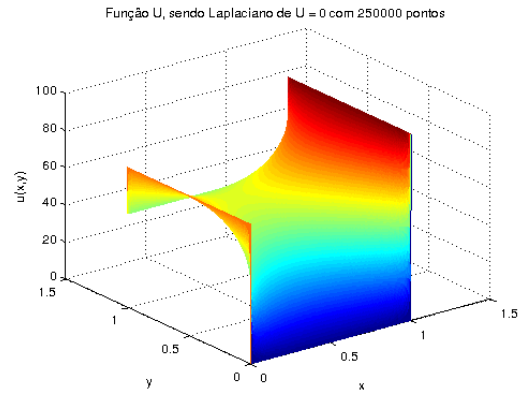


Figura 11. Malha 500x500 - 1 thread - Tempo: 36083s - Método Explícito

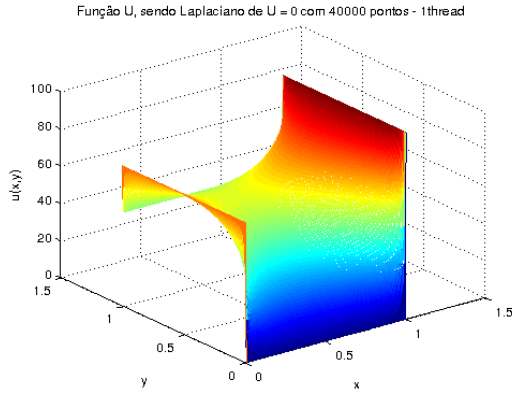


Figura 9. Malha 200x200 - 1 thread - Tempo: 1235s - Método Explícito

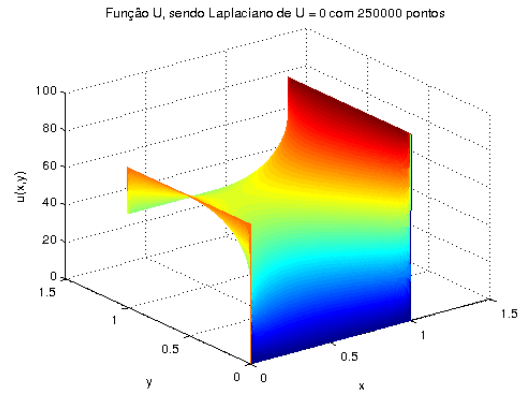


Figura 12. Malha 500x500 - 4 threads - Tempo: 9610s - Método Explícito

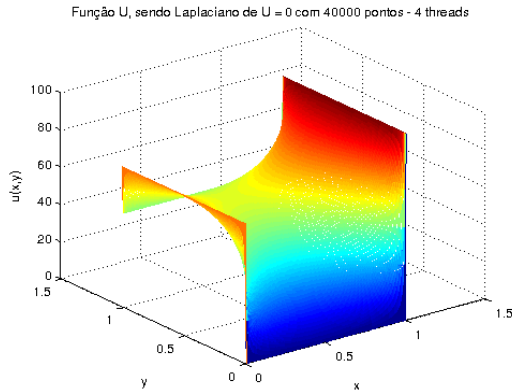


Figura 10. Malha 200x200 - 4 threads - Tempo: 274s - Método Explícito

espantosamente mais rápidos. Na maior malha que foi calculada no método iterativo, foram gastas 10h no cálculo com 1 thread e 2h40min no cálculo com 4 threads. No método direto com matrizes esparsas, o mesmo resultado foi obtido em menos de 1min.

Para se utilizar o método direto, inicia-se por substituir na Equação 5 os índices (i, j) por números de fato, obtendo várias equações, e isolando na parte da direita os termos de fronteira. Para um sistema $n \times n$, há n^2 pontos na

malha, cujos índices são representados no computador por $(0, 0) \rightarrow (n-1, n-1)$. Destes, há $(n-1)^2$ pontos internos, correspondendo aos índices $(1, 1) \rightarrow (n-2, n-2)$. A título de ilustração, são apresentadas as Equações 7 a 15 que foram obtidas para um sistema 5×5 .

$$u_{12} + u_{21} - 4u_{11} = -u_{01} - u_{10} \quad (7)$$

$$u_{11} + u_{22} + u_{31} - 4u_{21} = -u_{20} \quad (8)$$

$$u_{21} + u_{32} - 4u_{31} = -u_{41} - u_{30} \quad (9)$$

$$u_{22} + u_{13} + u_{11} - 4u_{12} = -u_{02} \quad (10)$$

$$u_{32} + u_{12} + u_{23} + u_{21} - 4u_{22} = 0 \quad (11)$$

$$u_{22} + u_{33} + u_{31} - 4u_{32} = -u_{42} \quad (12)$$

$$u_{23} + u_{12} - 4u_{13} = -u_{03} - u_{14} \quad (13)$$

$$u_{33} + u_{13} + u_{22} - 4u_{23} = -u_{24} \quad (14)$$

$$u_{23} + u_{32} - 4u_{33} = -u_{43} - u_{34} \quad (15)$$

O conjunto das Equações 7 a 15 é um sistema linear, e é possível representá-lo na forma matricial $Ax = b$. O que torna este problema interessante é que a matriz A e o vetor b tem padrões muito bem definidos. A matriz A

segue o padrão apresentado na Equação 16.

$$\begin{pmatrix} -4 & 1 & 0 & 1 & 0 & 0 & 0 & 0 & 0 \\ 1 & -4 & 1 & 0 & 1 & 0 & 0 & 0 & 0 \\ 0 & 1 & -4 & 0 & 0 & 1 & 0 & 0 & 0 \\ 1 & 0 & 0 & -4 & 1 & 0 & 1 & 0 & 0 \\ 0 & 1 & 0 & 1 & -4 & 1 & 0 & 1 & 0 \\ 0 & 0 & 1 & 0 & 1 & -4 & 0 & 0 & 1 \\ 0 & 0 & 0 & 1 & 0 & 0 & -4 & 1 & 0 \\ 0 & 0 & 0 & 0 & 1 & 0 & 1 & -4 & 1 \\ 0 & 0 & 0 & 0 & 0 & 1 & 0 & 1 & -4 \end{pmatrix} \quad (16)$$

Observando o padrão de formação da matriz A pentadiagonal e também o padrão do vetor b , obtém-se um sistema linear cuja incógnita são os pontos internos x . A solução é $x = A^{-1}b$.

Como se nota, a resolução é direta, mas o algoritmo para se resolver este sistema linear pode ser muito mais complexo. Mas há um problema para este método, que um sistema pode ficar extremamente grande com um n relativamente pequeno, tão grande, ao ponto de necessitar de mais memória do que o computador tem. Isso se resolve utilizando matrizes esparsas, que só salvam na memória elementos diferentes de zero. A matriz A é uma matriz esparsa, na qual a maioria de seus elementos é igual a 0. Utilizaram-se métodos prontos para resolução de sistemas esparsos da biblioteca Eigen. A Figura 13 mostra a relação entre tempo e número de pontos para o método direto. Note que o tempo é muito menor que nos métodos iterativos, nas Figuras 3 e 4.

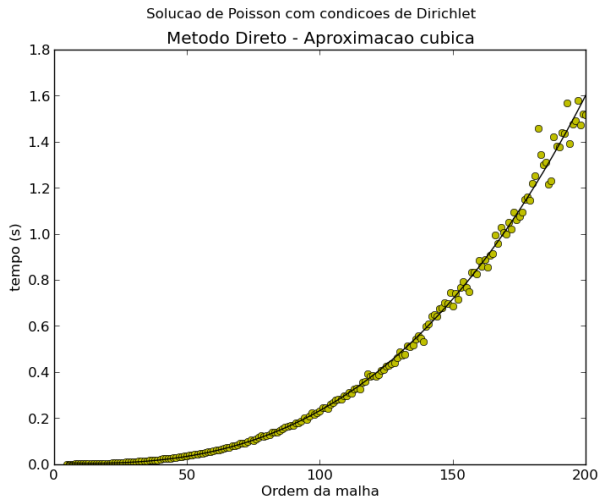


Figura 13. Relação entre número de pontos e tempo para soluções da equação de Laplace - Método Direto

Note que o erro nas soluções numéricas decai de acordo com a ordem da malha. Em um teste, foi medida a diferença entre o valor do ponto central numa malha 501×501 e outras malhas, ímpares, cujos pontos centrais correspondem ao mesmo ponto espacial $x = 0.5, y = 0.5$.

Na Figura 14 é apresentado o erro em função do número de pontos, note que o erro de fato diminui. Ainda comentando este gráfico, ele tem um perfil linear. Isso era esperado, pois o erro é da ordem Δx^2 e, portanto, esperava-se um perfil quadrático conforme a ordem da malha, e linear caso fosse ordem da malha ao quadrado (número de pontos real da malha).

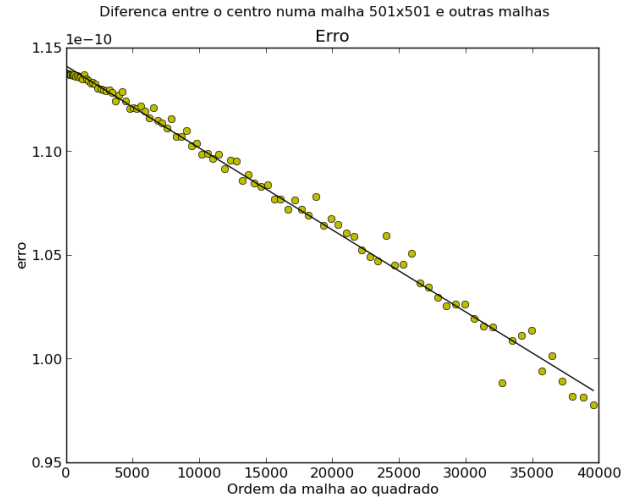


Figura 14. Relação entre número de pontos e erro para soluções da equação de Laplace - Método Direto

IV. SOLUÇÃO EQUAÇÃO DE POISSON

A equação de Poisson é muito similar à de Laplace, mas com uma diferença, há uma função forçamento não homogênea do lado direito da equação, conforme se nota na Equação 17.

$$\nabla^2 u = \frac{\partial^2 u}{\partial x^2} + \frac{\partial^2 u}{\partial y^2} = f(x, y) \quad (17)$$

Para este problema, a formulação em diferenças finitas é dada por:

$$u_{ij} = \frac{1}{4}[(u_{i+1j} + u_{i-1j} + u_{ij+1} + u_{ij-1}) - \Delta x^2 f_{ij}] \quad (18)$$

O algoritmo iterativo para este caso é muito similar ao mostrado anteriormente, basta substituir a Equação 6 pela 18 no Algoritmo 1. Para o caso em que o sistema é resolvido diretamente, o problema é muito similar, bastando mudar o vetor b , que passa a apresentar termos $\Delta x^2 f_{ij}$.

O problema apresentado na Equação 19 foi resolvido, os resultados podem ser vistos nas Figuras 15 e 16. O símbolo Ω indica a fronteira do problema. Como as condições de contorno são homogêneas, os valores da função no domínio são devidos somente ao forçamento não-homogêneo da equação de Poisson.

$$\begin{aligned} \nabla^2 u &= 1 \\ u(\Omega) &= 0 \end{aligned} \quad (19)$$

A equação de Poisson tornou-se mais complexa para solucionar quando foi adaptada com condições de contorno

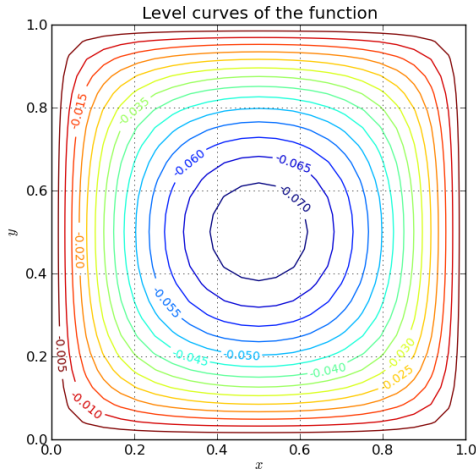


Figura 15. Solução de Poisson com condições de contorno de Dirichlet - Linhas de contorno

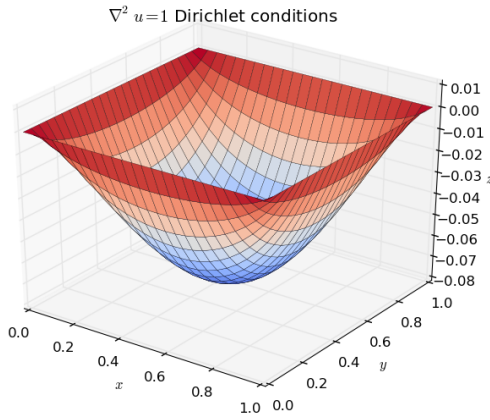


Figura 16. Solução de Poisson com condições de contorno de Dirichlet, $z = u$

similares às da etapa onde se obtém a pressão na equação Navier Stokes. Neste caso, as condições de contorno são todas de Neumann, isto é:

$$\frac{\partial u}{\partial n} = g(x, y) \quad (20)$$

Isto resulta em maior processamento devido à esta equação gerar condições na fronteira que levam a valores que não são fixos, e que também são incógnitas.

A Equação 21 foi resolvida. Note que se trata de uma equação de Poisson com condições de contorno de Neumann. O símbolo Ω_1 indica as fronteiras $x = 0$, $x = 1$ e $y = 1$. A derivada na direção n é a derivada normal à

fronteira em questão.

$$\nabla^2 u = 1 \quad (21)$$

$$\frac{\partial u(\Omega_1)}{\partial n} = 0 \quad (22)$$

$$\frac{\partial u(x, 0)}{\partial y} = 2x \quad (23)$$

As soluções da Equação 21 são apresentadas nas Figuras 17 e 18. Note que uma fronteira é próxima de zero, mas as outras três são razoavelmente diferentes de zero, enquanto três das condições de contorno, que especificaram derivadas, eram iguais a zero. Isso demonstra a diferença entre condição de contorno de Dirichlet e Neumann.

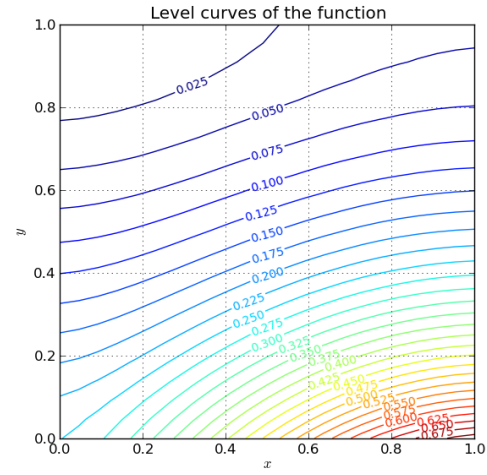


Figura 17. Solução da equação de Poisson com quatro condições de contorno de Neumann - Linhas de contorno

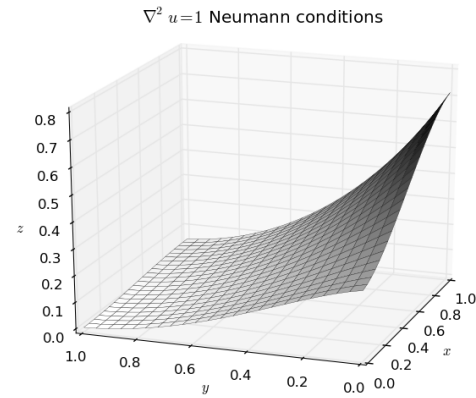


Figura 18. Solução da equação de Poisson com quatro condições de contorno de Neumann, $z = u$

V. SOLUÇÃO DA EQUAÇÃO DE NAVIER STOKES

Considerações gerais

Após obter as soluções das equações de Laplace e Poisson com condições de Dirichlet, pelos métodos direto e

iterativo, a próxima etapa é a equação de Navier Stokes. Essa equação tem muitas complicações, e está levando ainda certo tempo para ter-se um programa que a resolva. A complexidade do programa é muito maior, sendo subdividido em várias etapas, e há ainda a evolução temporal, que não existe nos problemas resolvidos anteriormente. O método utilizado, que divide o processo de solução em várias etapas, é o *time-splitting* [4] [6]. A equação de Navier Stokes é a seguinte:

$$\rho \left(\frac{\partial \mathbf{v}}{\partial t} + \mathbf{v} \cdot \nabla \mathbf{v} \right) = -\nabla p + \mu \nabla^2 \mathbf{v} + \mathbf{f} \quad (24)$$

$$\nabla \cdot \mathbf{v} = 0 \quad (25)$$

A discretização não é simples e é um pouco diferente das que foram feitas anteriormente. Em primeiro lugar, tem-se que saber que a discretização da equação de Navier Stokes que será utilizada aqui é a formulação em variáveis primitivas [4]. Isso quer dizer que o problema será trabalhado com as variáveis originais de velocidade u, v (em x e y) e pressão p . Outra forma de resolver é usando uma formulação com a vorticidade, que não será trabalhada aqui [4].

Se uma malha como a da Figura 2 for utilizada, ocorrem modos espúrios de pressão que causam um perfil de velocidades que contém oscilações não esperadas no resultado do problema [4]. O resultado, obtido com tal malha, desta forma, não é satisfatório, e para resolver este problema usa-se uma malha escalonada [4].

A malha escalonada é uma malha na qual valores guardados num ponto se referem à informação em um outro ponto, próximo. No ponto (i, j) são salvos cinco valores: força horizontal, força vertical, pressão, velocidade horizontal e vertical. Essas são representadas pelos símbolos f_x, f_y, p, u e v . Um elemento da malha escalonada é representado na figura a seguir, na qual as forças não estão mostradas, mas elas são localizadas nas mesmas posições que as velocidades.

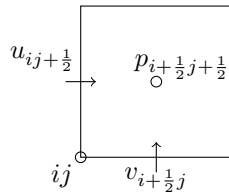


Figura 19. Elemento de malha escalonada

Diferente dos problemas de Laplace e Poisson, no qual um elemento u_{ij} que estava salvo no computador na posição ij realmente é o elemento u_{ij} , agora o elemento u_{ij} salvo na memória do computador é fisicamente o elemento $u_{ij+\frac{1}{2}}$, enquanto o elemento v_{ij} se refere ao elemento $v_{i+\frac{1}{2}j}$. De maneira similar ocorre para as forças. Para a pressão, p_{ij} corresponde ao ponto $p_{i+\frac{1}{2}j+\frac{1}{2}}$. Isso influencia diretamente na discretização, e na posterior criação dos gráficos.

Uma malha escalonada completa é apresentada na Figura 20, nela há ainda um outro detalhe: uma fronteira

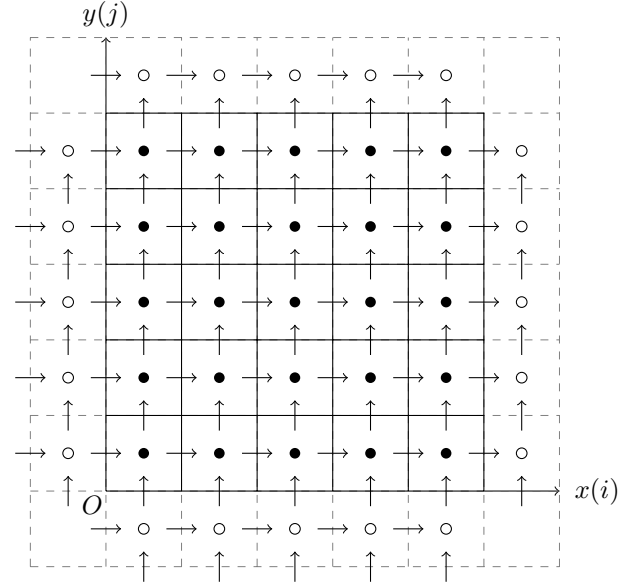


Figura 20. Malha escalonada. Círculos são pontos internos e de fronteira enquanto circunferências indicam fronteira imaginária adicionada

imaginária. Quando a equação de Navier Stokes é discretizada, são necessários outros pontos além do internos e da fronteira.

O problema de Navier Stokes é trabalhado em três etapas principais, resultantes do algoritmo de *time-splitting* [6]:

- 1) Desconsiderando a pressão
- 2) Obtendo a pressão
- 3) Avanço no tempo

Inicia-se agora a descrição da metodologia empregada em tais etapas.

A. Desconsiderando a pressão

A primeira etapa consiste literalmente de desconsiderar a pressão. Há um termo de pressão na Equação de Navier Stokes (eq. 24) que é o termo ∇p , chamado de gradiente de pressão. Elimina-se ele da equação e a partir dessa simplificação, faz-se a discretização da equação. Pelo fato da malha ser escalonada, termos de velocidade estão em pontos diferentes da malha, e há momentos nos quais é necessário elementos de velocidade que não estão salvos na malha, casos nos quais se realiza uma média de velocidades próximas para obter as velocidades necessárias na discretização.

$$\mathbf{v}_{ij}^s = (u_{i+1j} + u_{i-1j} + u_{ij+1} + u_{ij-1})\mathbf{i} + (v_{i+1j} + v_{i-1j} + v_{ij+1} + v_{ij-1})\mathbf{j} \quad (26)$$

$$\mathbf{v}_{ij}^t = 0.25(u_{ij} + u_{i+1j} + u_{i+1j-1} + u_{ij-1})\mathbf{i} + 0.25(v_{ij} + v_{i-1j} + v_{i-1j+1} + v_{ij+1})\mathbf{j} \quad (27)$$

$$u_{ij}^* = \left[\frac{\mu}{\rho} \left(\frac{u_{ij}^s - 4u_{ij}}{\Delta x^2} \right) + \frac{1}{\rho} f_{x,ij} \right] + u_{ij} - \left[u_{ij} \frac{u_{i+1j} - u_{i-1j}}{2\Delta x} - v_{ij}^t \frac{u_{ij+1} - u_{ij-1}}{2\Delta x} \right] \Delta t \quad (28)$$

$$v_{ij}^* = \left[\frac{\mu}{\rho} \left(\frac{v_{ij}^s - 4v_{ij}}{\Delta x^2} \right) + \frac{1}{\rho} f_{y,ij} \right] + v_{ij} - \left[u_{ij}^t \frac{v_{i+1j} - v_{i-1j}}{2\Delta x} - v_{ij} \frac{v_{ij+1} - v_{ij-1}}{2\Delta x} \right] \Delta t \quad (29)$$

Com isto, tem-se:

$$\mathbf{v}^* = (u^*, v^*)$$

As equações para u_{ij}^* e v_{ij}^* são utilizadas para obter a solução de velocidades da equação de Navier Stokes sem a pressão e, portanto, não é a solução real, mas está relacionada com a solução.

B. Obtendo a pressão

A forma de obter a pressão é utilizando as Equações 24 e 25. Primeiro é obtido o divergente da Eq. 24 e então, utilizando a Equação 25, se simplifica a equação obtida, obtendo-se o seguinte:

$$\nabla^2 p = \frac{\rho}{\Delta t} \nabla \cdot \mathbf{v}^* = \frac{\rho}{\Delta t} \left(\frac{\partial u^*}{\partial x} + \frac{\partial v^*}{\partial y} \right) \quad (30)$$

O termo da direita na equação acima será chamado de *DIV*, e é discretizado na equação seguinte:

$$DIV_{ij} = \frac{\rho}{\Delta t} \left(\frac{u_{i+1j}^* - u_{ij}^*}{\Delta x} + \frac{v_{ij+1}^* - v_{ij}^*}{\Delta x} \right) \quad (31)$$

A equação que estamos tratando é a de Poisson, e resultará na pressão desejada para resolvermos o problema de Navier Stokes. A Equação 18 é usada para pontos internos da malha. Já para a fronteira, a situação muda em relação à anterior. A partir da equação de Navier Stokes podem ser obtidas as condições de contorno para a pressão. Veremos que tais condições são todas de Neumann, fazendo com que não haja uma única solução de pressão, mas como na equação de Navier Stokes só aparece gradiente de pressão, qualquer solução de pressão pode ser usada para então obter esse gradiente. Destrinchando a Equação 24 em duas coordenadas, tem-se:

$$\frac{\partial u}{\partial t} + u \frac{\partial u}{\partial x} + v \frac{\partial u}{\partial y} = -\frac{1}{\rho} \frac{\partial p}{\partial x} + \nu \left(\frac{\partial^2 u}{\partial x^2} + \frac{\partial^2 u}{\partial y^2} \right) + f_x \quad (32)$$

$$\frac{\partial v}{\partial t} + u \frac{\partial v}{\partial x} + v \frac{\partial v}{\partial y} = -\frac{1}{\rho} \frac{\partial p}{\partial y} + \nu \left(\frac{\partial^2 v}{\partial x^2} + \frac{\partial^2 v}{\partial y^2} \right) + f_y \quad (33)$$

Se fizermos uma análise dos pontos na parede da esquerda ou direita, e aplicarmos as condições de impenetrabilidade e não-deslizamento [4], que dizem que $u = 0$ e $v = 0$ na parede, temos a simplificação da equação, pois vários termos se tornam zero. As equações para as duas paredes verticais é a seguinte:

$$\left. \frac{\partial p}{\partial x} \right|_{\text{parede}} = \rho \nu \left. \frac{\partial^2 u}{\partial x^2} \right|_{\text{parede}} + \rho f_x \quad (34)$$

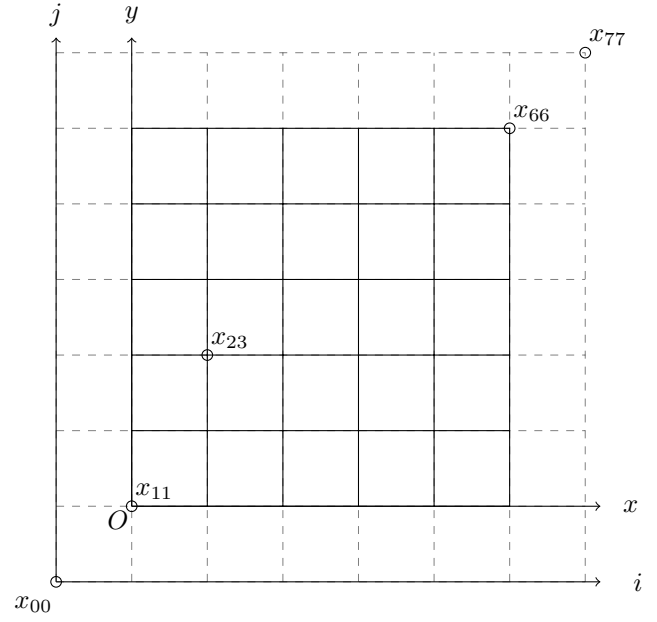


Figura 21. Mostra dos índices dos pontos do domínio e pontos imaginários

Para as paredes que ficam na horizontal tem-se:

$$\left. \frac{\partial p}{\partial y} \right|_{\text{parede}} = \rho \nu \left. \frac{\partial^2 v}{\partial y^2} \right|_{\text{parede}} + \rho f_y \quad (35)$$

As discretizações das Equações 34 e 35 devem ser feitas considerando-se a malha escalonada, da forma como os dados são salvos no computador. O seguinte esquema mostra a origem O do nosso domínio e o ponto no computador que representa a origem imaginária x_{00} :

Esta malha é mostrada como na Figura 21. Note que em C++ não é possível ter elementos de matrizes com índices negativos, tal como outras linguagens de programação, tal como o Fortran. Discretizando as equações e isolando os termos da fronteira imaginária, que se deseja obter, tem-se o seguinte:

$$p_{i-1j}|_{i=1} = p_{ij} - \frac{\mu}{\Delta x} (2u_{ij} - 5u_{i+1j} + 4u_{i+2j} - u_{i+3j}) - \rho \Delta x f_{ij} \quad (36)$$

$$p_{i+1j}|_{i=n} = p_{ij} + \frac{\mu}{\Delta x} (2u_{ij} - 5u_{i-1j} + 4u_{i-2j} - u_{i-3j}) + \rho \Delta x f_{ij} \quad (37)$$

$$p_{ij-1}|_{j=1} = p_{ij} - \frac{\mu}{\Delta x} (2v_{ij} - 5v_{ij+1} + 4v_{ij+2} - v_{ij+3}) - \rho \Delta x f_{ij} \quad (38)$$

$$p_{ij+1}|_{j=n} = p_{ij} + \frac{\mu}{\Delta x} (2v_{ij} - 5v_{ij-1} + 4v_{ij-2} - v_{ij-3}) + \rho \Delta x f_{ij} \quad (39)$$

Tais equações devem então ser utilizadas no algoritmo para resolver a equação de Poisson, lembrando que essas condições são de Neumann, e então a fronteira não é fixa, mas irá variar até o momento que o algoritmo iterativo utilizado convergir.

C. Avanço no tempo

Agora faz-se a relação entre a velocidade obtida ignorando-se a pressão com o gradiente da pressão obtida no item anterior para então obter-se o próximo passo de tempo da velocidade. Finalmente, tem-se:

$$\frac{\mathbf{v}^{n+1} - \mathbf{v}^*}{\Delta t} = -\frac{1}{\rho} \nabla p \quad (40)$$

Expandindo para as equações escalares, tem-se:

$$u^{n+1} = u^* - \frac{\Delta t}{\rho} \frac{\partial p}{\partial x} \quad (41)$$

$$v^{n+1} = v^* - \frac{\Delta t}{\rho} \frac{\partial p}{\partial y} \quad (42)$$

Basta discretizar os termos das derivadas parciais agora:

$$p_{x,ij} = \frac{p_{ij} - p_{i-1j}}{\Delta x} \quad (43)$$

$$p_{y,ij} = \frac{p_{ij} - p_{ij-1}}{\Delta x} \quad (44)$$

E finalmente tem-se a solução para o tempo $n + 1$ a partir do tempo passado n :

$$u^{n+1} = u^* - \frac{\Delta t}{\rho} p_x \quad (45)$$

$$v^{n+1} = v^* - \frac{\Delta t}{\rho} p_y \quad (46)$$

Cada uma das variáveis acima é uma matriz. Com isso, tem-se as fórmulas necessárias para resolver a equação de Navier Stokes. No entanto, outros processos são necessários computacionalmente, tais como escolher uma condição de parada, que identifique se o problema convergiu, salvar resultados em arquivos, entre outras coisas, que dificultam a codificação do problema.

Esta etapa encontra-se em desenvolvimento e esperamos ter novos resultados para apresentação no congresso.

VI. CONCLUSÃO

O problema proposto inicialmente ainda não foi alcançado, que é trabalhar com a instabilidade de Saffman-Taylor com fluido magnético e, ou Anisotrópico. Antes de trabalhar com tal problema, teve-se uma etapa inicial que demandou um certo trabalho. Essa primeira etapa consistiu do estudo da resolução de equações diferenciais parciais, por meio de sua discretização e codificação em um programa de computador.

Foi bem sucedida a resolução das equações de Laplace e Poisson numa malha quadrada, pelos métodos direto e iterativo, com diferenças finitas. No caso da equação de Poisson, ainda teve-se a resolução bem sucedida com condições de fronteira de Neumann, que seria essencial para trabalhar com a pressão na equação de Navier Stokes.

O trabalho foi um aprendizado razoavelmente complexo, e que teve muitas consequências positivas. As habilidades de programação de programas numéricos pelo aluno aumentaram bastante, na realidade, de qualquer programa,

pelo fato de se ter treinado bastante o uso do git e da ferramenta de compilação cmake. Apesar da programação ainda ser um problema, pela complexidade do programa, o código⁷ está muito mais organizado do que se esperava, e pra isso ele foi refeito algumas vezes.

O programa para resolver a equação de Navier Stokes na malha escalonada está sendo implementado e espera-se obter resultados nas etapas posteriores deste projeto.

AGRADECIMENTOS

Primeiramente agradeço a Deus pela oportunidade de ter feito parte deste trabalho. Agradeço também ao professor Yuri Dumaresq pelas orientações e ânimo no ensino que eu vi nele e que também me animaram na resolução destes problemas numéricos. Agradeço também ao CNPq pela bolsa de incentivo à pesquisa.

REFERÊNCIAS

- [1] Rosensweig, R.E. 1987. Magnetic Fluids. Annu. Rev. Fluid Mech. 19:437-461.
- [2] Mittal R, Iaccarino G. 2005. Immersed Boundary Methods. Annu. Rev. Fluid Mech. 37:239-61.
- [3] Perkin, C. S. 2002. The immersed boundary method. Act. Numerica p. 479:517
- [4] Hinch, E.J. Lecture notes on Computational Fluid Dynamics: Part I - A first problem.
- [5] Babchin, A., Brailovsky, I. Gordon, P., Sivashinsky, G. Fingering instability in immiscible displacement. . Phys. Rev. E , 77, 026301, (2008).
- [6] Chorin, A. J. A numerical method for solving incompressible viscous flow problems. J. Computational Physics, v. 2, 1967, p. 12

⁷Código está acessível online em <https://github.com/ataias/ff>